

広島大学工学部 正員 佐藤 勝  
広島大学工学部 学生員 ○原 駿己

## 1. はじめに

本研究は、階段状に変化する変断面構を伝播する応力波の解析に対して、平面保持が成り立つという仮定に基づく St. Venant の 1 次元波動解を適用する場合の適用範囲について考察するとともに、変断面構内部の応力波伝播機構の解析を行なったものである。解析手段としては、動歪測定、光弾制御方式による一輪撮り動光弹性撮影および波動方程式の差分解を用いた。

## 2. 模型および計算

模型は、図-1 に示すような I, II 層の断面構比を入として、 $\lambda = \frac{1}{2}, \frac{1}{3}, \frac{1}{4}$  の 3 種類の変断面構を用いて落錐によくボンブ銃弾で衝撃した。

計算方法は、等方材質の弾性体に対する 2 次元波動方程式の中央差分による差分解を用いた。使用した諸定数を表-1 に示す。

## 3. 実験結果および考察

表-2 に種々の断面構比の場合について落錐衝撃によりおこる伝播時間と最大ひずみを示す。ここで理論値は St. Venant の解より求めたものであり、実測値は a) の方法

断面構比	理論値	実測値		
		a) の方法	b) の方法	c) の方法
$\lambda = \frac{1}{2}$	0.667	0.75	1.2	0.66
$\lambda = \frac{1}{3}$	0.572	0.65	1.4	0.66
$\lambda = \frac{1}{4}$	0.500	0.70	1.0	0.71

より測点 A のひずみの立ち上がり比を表-2 に示す。表-2 に示す A のひずみの立ち上がり比は、 $\lambda = \frac{1}{2}$  の場合より求めたもの、測点 D の  $\lambda = \frac{1}{3}$  の場合のひずみの立ち上がり比と比較して求めたもの、以下が測点 E での最大ひずみに下記比較から求めたものである。

表-2 に示す  $\lambda = \frac{1}{2}$  の場合には理論値と実測値はよく一致している。また  $\lambda = \frac{1}{3}, \lambda = \frac{1}{4}$  の場合には、実測値が大きくなることがわかった。

図-2 に、 $\lambda = \frac{1}{2}, \frac{1}{3}$  の場合についてボンブ銃弾衝撃の差分解による初期分布を示す。

写真-1、図-3 は各  $\lambda$  と  $\lambda = \frac{1}{2}, \frac{1}{3}, \frac{1}{4}$  の場合の等色線図および差分解により求めた等主応力差線図を示す。二種の計算結果と実験結果はよく一致しており、本研究に用いた差分解は応力波伝播解析に適たり信用できる。断面急変部分では、 $\lambda = \frac{1}{2}, \frac{1}{3}$  の場合とも平面保持は成り立たないが、 $\lambda = \frac{1}{2}, \frac{1}{3}, \frac{1}{4}$  に対して平面保

時間	0.25μsec	P(ε)	ひずみ
0.15	0.5×10 <sup>-6</sup> sec	E	3.15×10 <sup>-3</sup> %
→	0.36	P	1.21×10 <sup>-3</sup> %

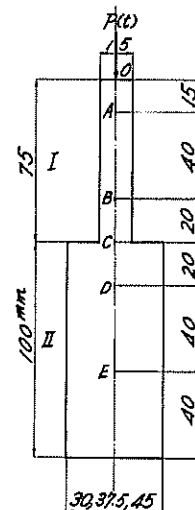


図-1 模型寸法および測定

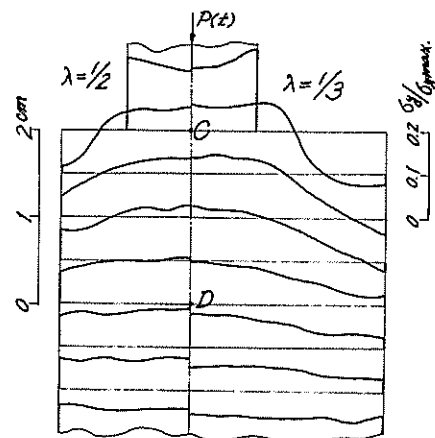
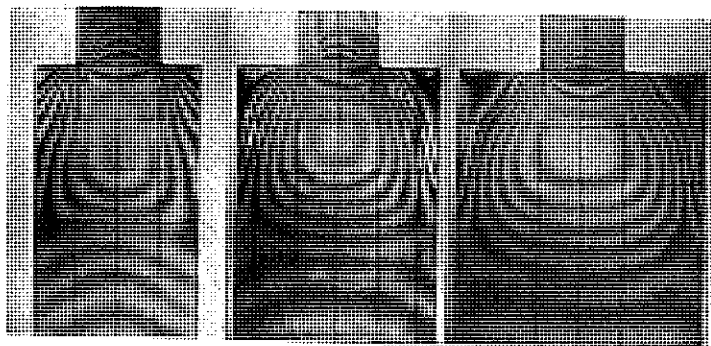


図-2 衝撃後 80  $\mu$ sec 後の  $\sigma_y$  分布



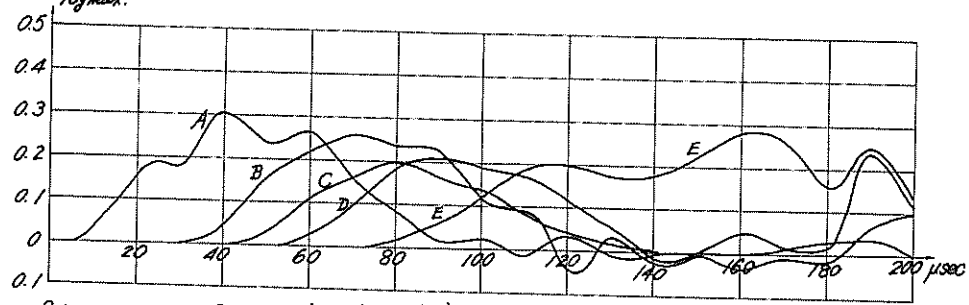
$\lambda = 1/2$  寸法 - I  $\lambda = 1/2.5$   $\lambda = 1/3$

3mm, 4mm, 5mm 離れた位置ではほぼ平面保持が成立していることがわかる。  
しかしながら、断面急変部附近では入 =  $1/2$ ,  $1/3$  の場合ともに平面保持は成り立たず、急変部の前後で応力集中が生じている。図-4, 5に示される  
入 =  $1/2$ ,  $1/3$  の場合の中間に線上の各測点の応力変化を示す。

#### 4. まとめ

- ① 入 =  $1/2$ ,  $1/3$  の場合とも断面急変部では平面保持は成り立たず、断面急変部から層立・中程度離れたところでは平面保持はあまり満足されず。
- ② 平面保持が成り立つといつて仮定に基づく St. Venant の解は入 =  $1/5$  程度までは工学的に無理なく用いることができる。

$E_y/E_{y\max}$ .



$E_y/E_{y\max}$  図-4 中心線上 各測の  $E_y$   $\lambda = 1/2$

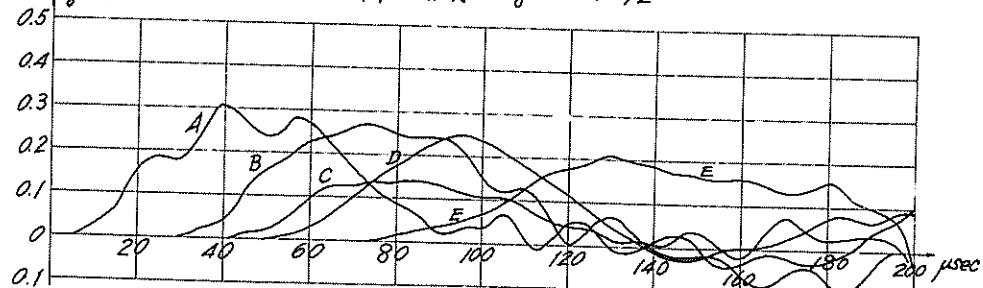


図-5 中心線上 各測の  $E_y$   $\lambda = 1/3$

参考文献  
 1) 井出義次・佐藤誠一, “複合構造における多層構内応力伝播に関する実験的研究”, 土木学会論文集第151号, pp.27~38  
 2) 佐藤誠一・井出義次, “合波構造の応力波伝播について”, 昭和45年度土木学会中国四国支部一般講演会概要  
 pp.59~60

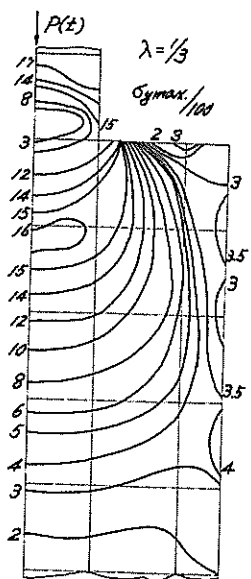


図-3 衝撃後 80μsec 後  
の等主応力差線図